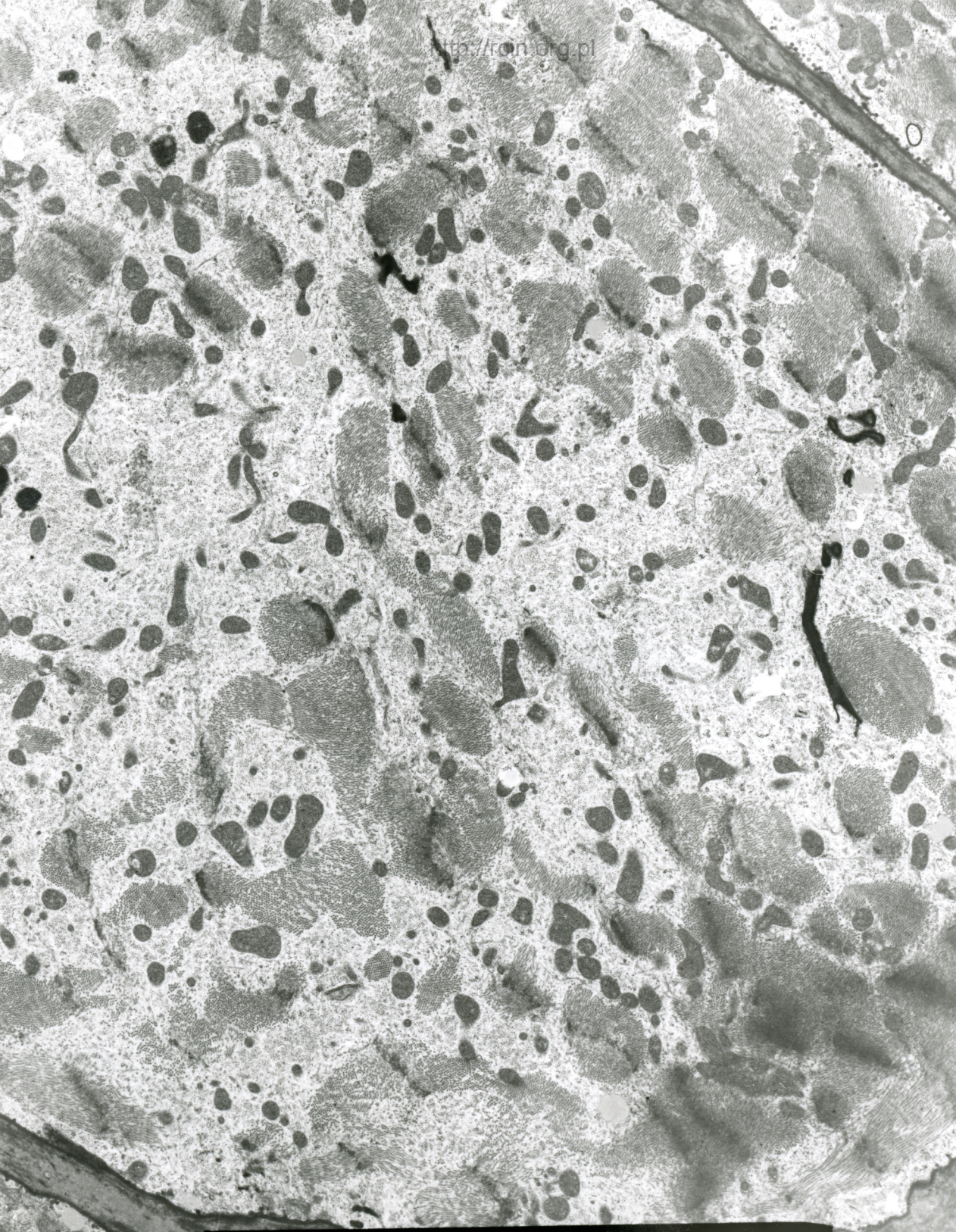


AF 46/09/SERCE
091504 80 AKU X3000

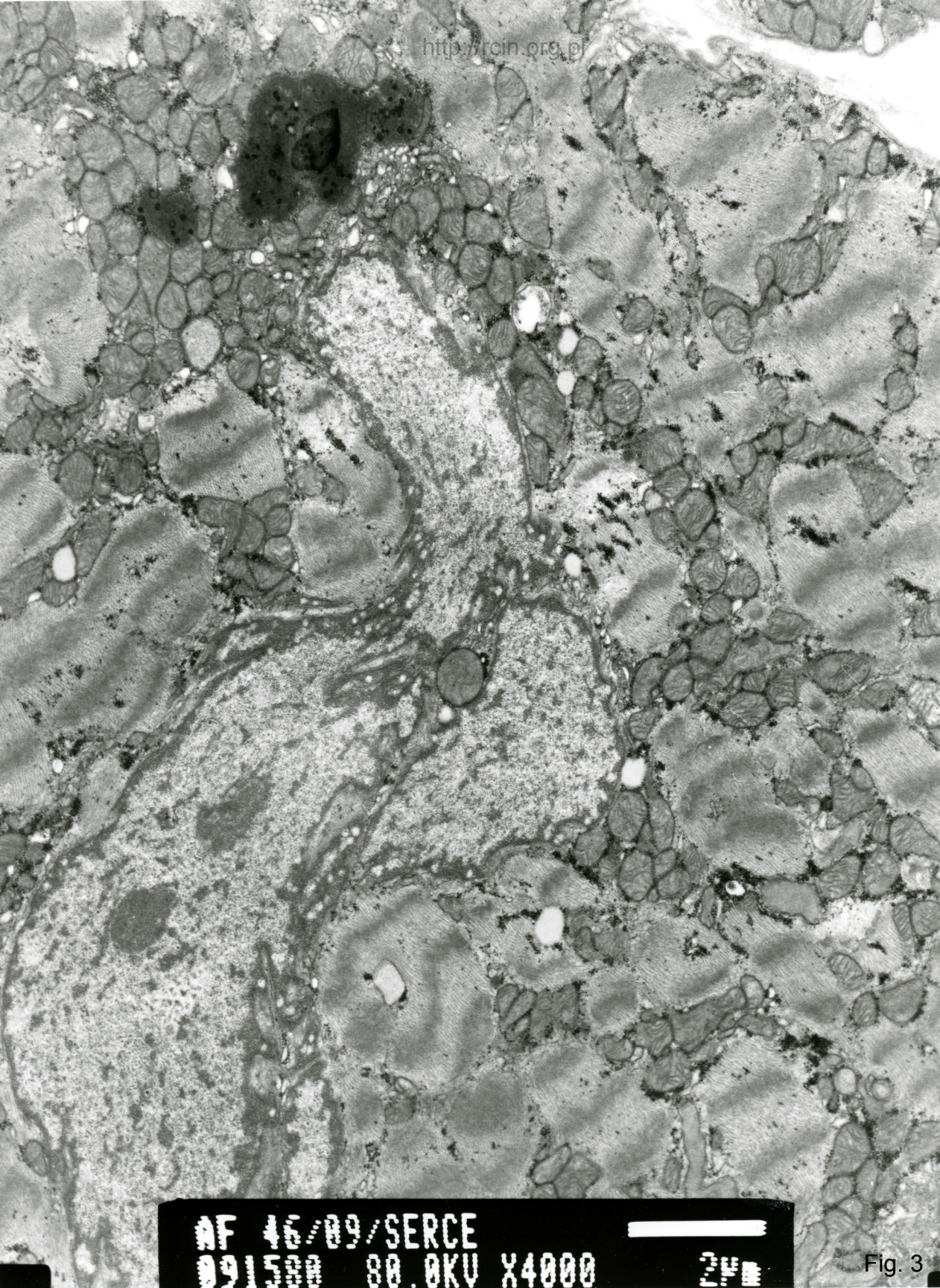
Fig. 1

http://ron.fhg.pl



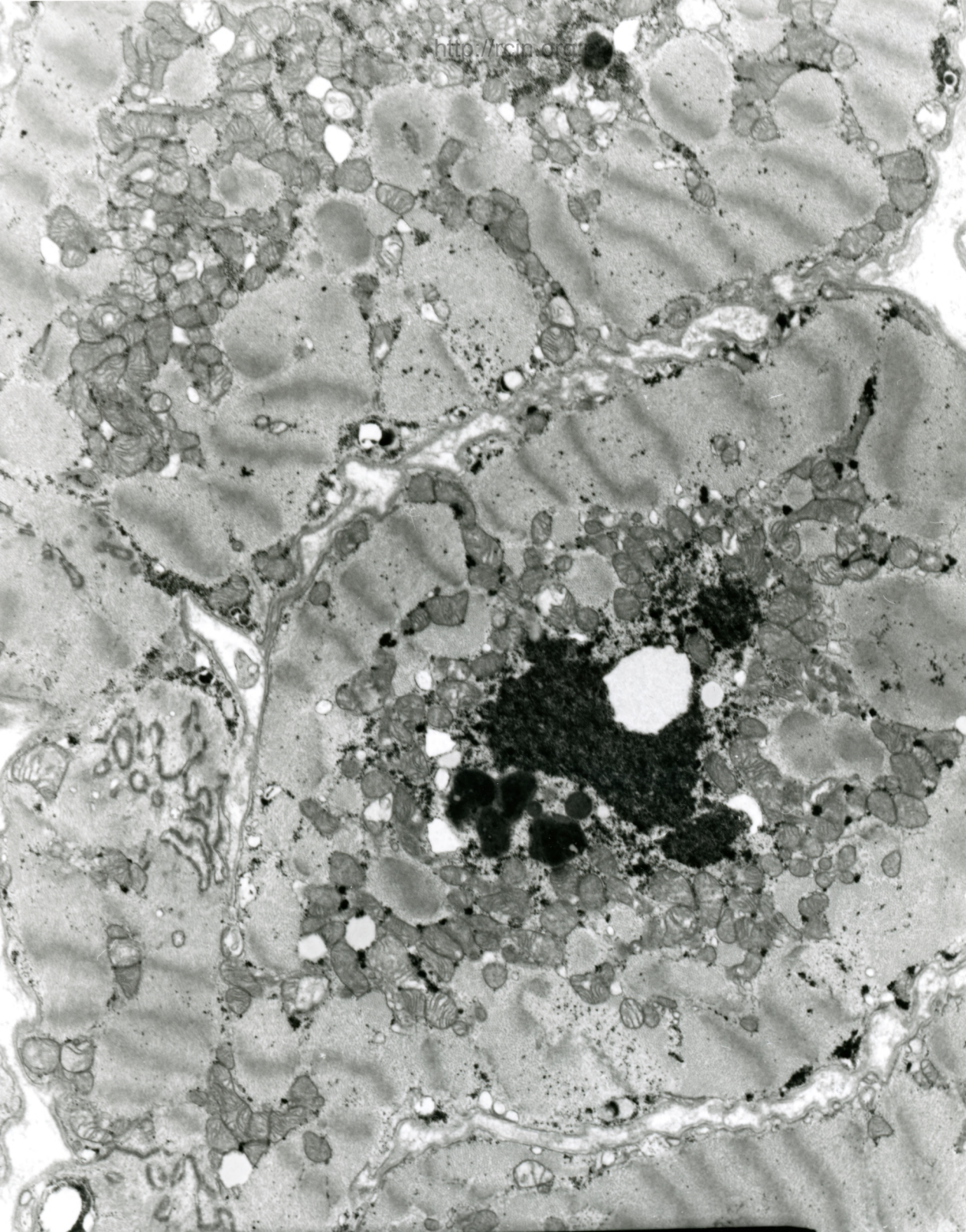
NF 46/89/SERCE
091506 80 AKU X3000
2µm

Fig. 2



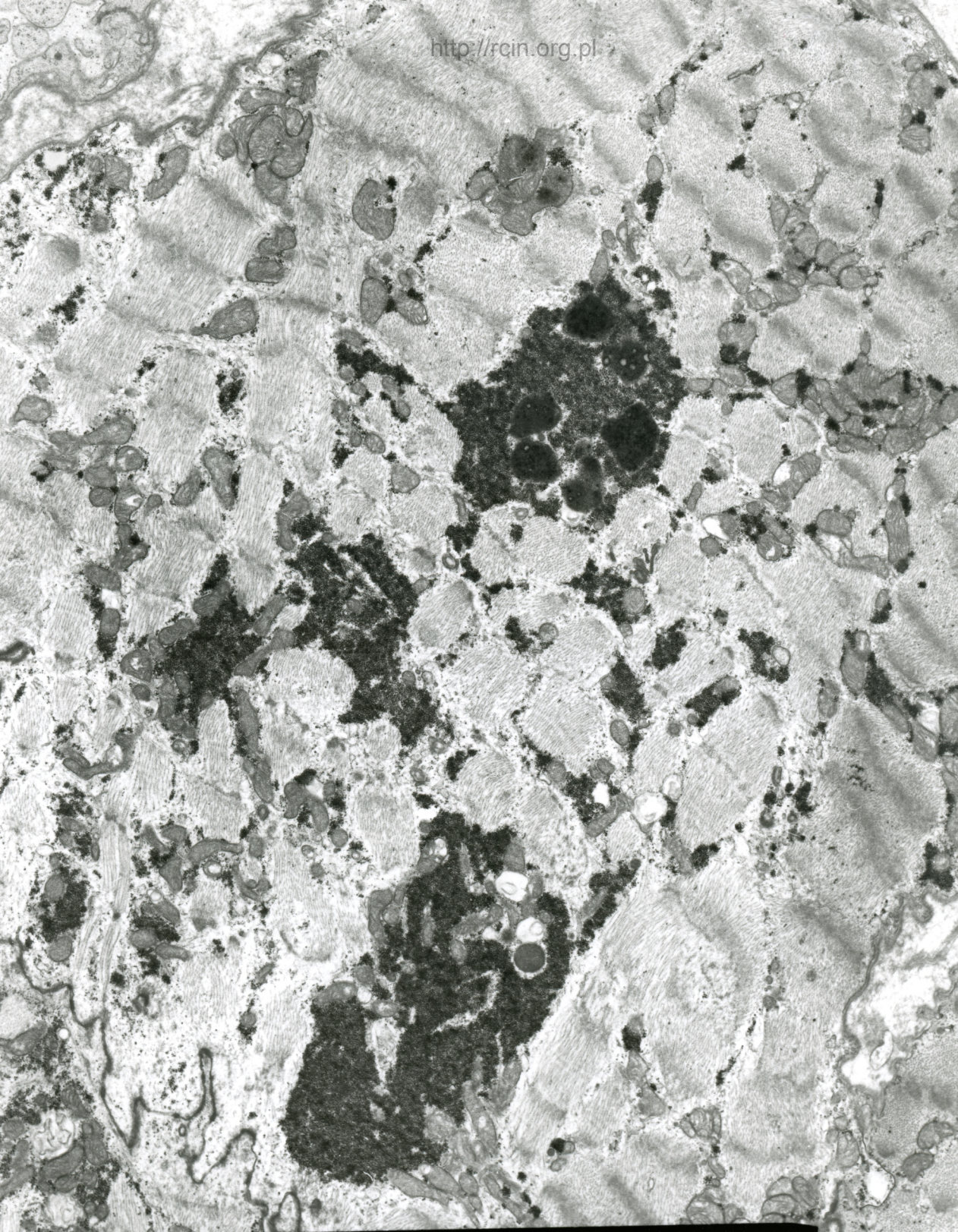
NF 46/09/SERCE
091500 80.0KV X4000 2µm

Fig. 3



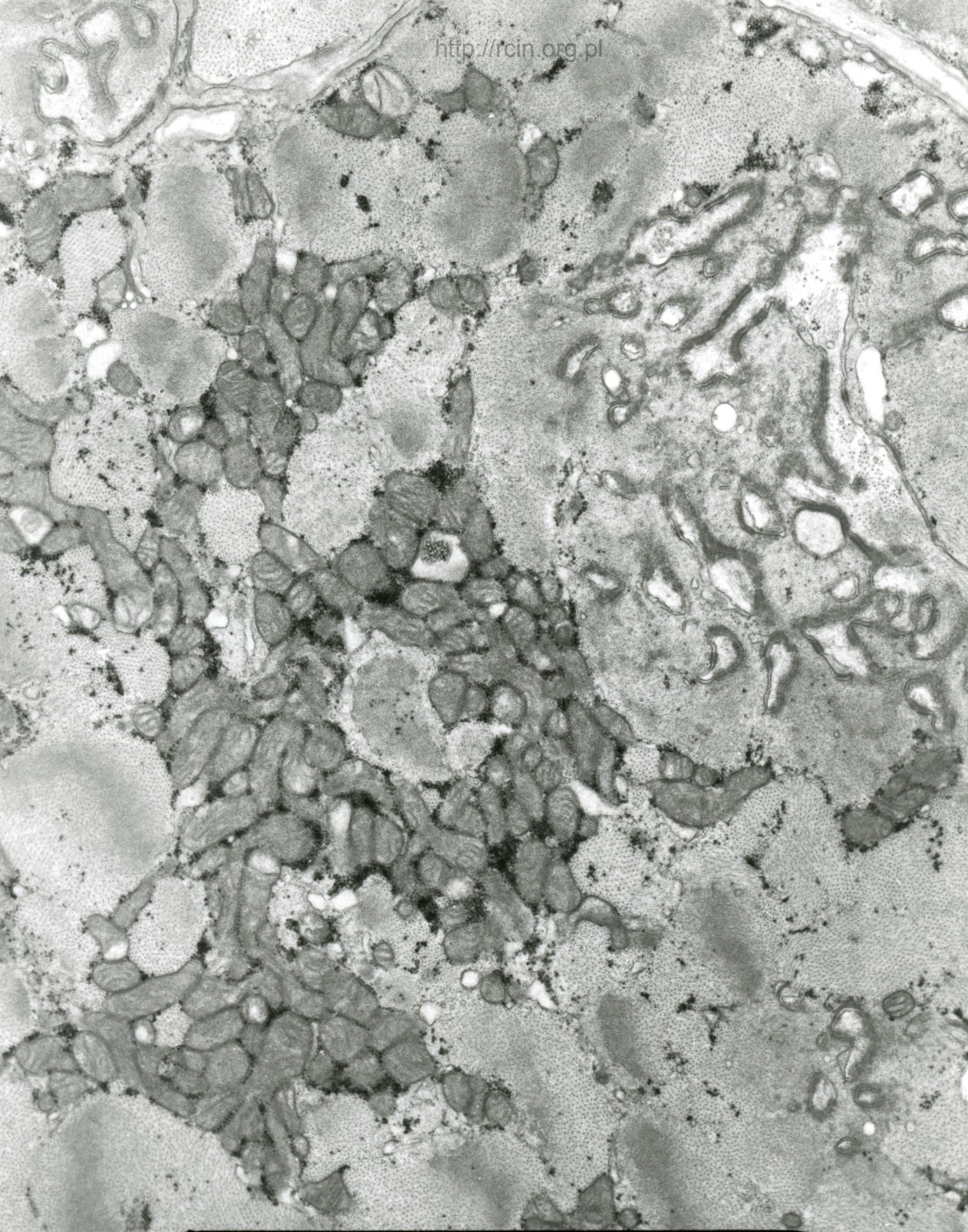
AF 45/89/SERCE
091500 80 0KV X3000

Fig. 4



NF 46/09/SERCE
091505 BA AKU X3000 2µm

Fig. 5



AF 45/09/SERCE
091502 80.0KV X6000

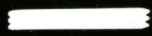


Fig. 6

46/09 serce

Analiza elektronowo-mikroskopowa wykazała znaczne nieprawidłowości w budowie ultrastrukturalnej kardiomiocytów. Budowa sarkomerów była zmieniona, a ich struktura zatarta. Obserwowano zaburzenia w przebiegu miofibryli oraz ich dezorganizację, a miejscowo całkowity zanik. (Fig. 1-2). Poza jądrami kardiomiocytów o prawidłowej budowie obecne były jądra o zmienionym kształcie, charakteryzujące się licznymi wgłobieniami w otoczce jądrowej (Fig.3). Miejscami widoczne było nagromadzenie glikogenu i lipofuscyny (Fig. 4,5). W niektórych kardiomiocytach przebieg i budowa morfologiczna wstawki (intercalated disc) były zmienione (Fig. 6).

Electron-microscopic analysis revealed significant abnormalities in the ultrastructure of cardiomyocytes. The sarcomere pattern was altered and sarcomeres were characterized by blurred structure. Myofibrillar disruption and disorganization, and focally, a complete atrophy of myofibrils were observed (Figs. 1-2). Apart normal cardiomyocyte nuclei, nuclei characterized by altered shape and numerous indentations in the nuclear envelope were present (Fig. 3). Accumulation of glycogen and lipofuscin was seen focally (Figs. 4,5). In some cardiomyocytes the course and morphological structure of the intercalated disc were altered (Fig. 6).